

Cliques Maximais em Grafos Círculo

Edson Norberto Cáceres
Dept. de Computação e Estatística - UFMS
Caixa Postal, 649
79069 - Campo Grande - MS
E-Mail EDSON@BRUFMS.BITNET

Jayme Luiz Szwarcfiter
NCE e IM - UFRJ
Caixa Postal 2324
20001 - Rio de Janeiro - RJ
E-Mail JAYME@NCE.UFRJ.BR

RESUMO

Apresentamos uma implementação em uma *CREW PRAM* de um algoritmo paralelo para geração de todas as cliques maximais em um grafo círculo. O algoritmo é executado em tempo paralelo $O(\alpha \log^2 n)$ com n^3 processadores, onde n, m e α são o número de vértices, arestas e cliques maximais do grafo, respectivamente. Vamos também apresentar um algoritmo paralelo para computar o número de cliques maximais α_k de tamanho k , o número total de cliques maximais α e a clique máxima de um *grafo círculo* em tempo paralelo $O(\log^2 n)$ com n^3 , $nM(n)$ e n^3 processadores, respectivamente, em uma *CREW PRAM*, onde $M(n)$ é o número de processadores necessários para efetuar uma multiplicação de duas matrizes $n \times n$.

ABSTRACT

We describe a implementation in a *CREW PRAM* of a parallel algorithm for generating all maximal cliques in a circle graph G . The algorithm requires

$O(\alpha \log^2 n)$ parallel time with n^3 processors, where m , n and α are the number of vertices, edges and maximal cliques of G . In addition, we show that the number of such cliques, the number of cliques of length k and a maximum clique can be computed in $O(\log^2 n)$ parallel time with n^3 , $nM(n)$ and n^3 , respectively, in a *CREW PRAM* where $M(n)$ is the number of processors required to multiply two $n \times n$ matrices.

1 Introdução

O problema do reconhecimento de *grafos círculo* de maneira eficiente ficou aberto por vários anos e foi solucionado independentemente por [1,8,11]. Esses algoritmos basicamente fazem o uso de uma decomposição do grafo [6,5]. Os algoritmos apresentados são seqüenciais (polinomiais). A existência de um algoritmo paralelo para reconhecimento de *grafos círculo* está em aberto [12].

Vamos descrever um algoritmo para geração de todas as cliques maximais, de um *grafo círculo* em tempo paralelo de $O(\alpha \log^2 n)$ com n^3 processadores em uma *CREW PRAM*, onde n, m e α são o número de vértices, arestas e cliques maximais do grafo, respectivamente. O algoritmo apresentado é baseado na versão seqüencial apresentado por [13]. A versão seqüencial é uma aplicação de uma orientação especial de um grafo denominada *localmente transitiva*. Essa orientação é uma generalização de uma *orientação transitiva* de um grafo. Vamos também apresentar um algoritmo paralelo para computar o número de cliques maximais α_k de tamanho k , o número total de cliques maximais α e a clique máxima de um *grafo círculo* em tempo paralelo $O(\log^2 n)$ com n^3 , $nM(n)$ e n^3 processadores, respectivamente, em uma *CREW PRAM*, onde $M(n)$ é o número de processadores necessários para efetuar uma multiplicação de duas matrizes $n \times n$.

O número de cliques maximais α de um *grafo círculo* pode ser exponencial [10]. Isso faz com que seja altamente ineficiente computar α através da geração de todas as cliques maximais e contá-las, sendo importante o cálculo do número de cliques maximais independente de computá-las. Cabe salientar que o problema de determinar o número de cliques maximais de um grafo qualquer é um problema $\#P$ -completo [14].

As cliques maximais de um grafo qualquer podem serem computadas através do algoritmo [7] em tempo paralelo $O(\alpha \log^3 n)$ com $\alpha^6 n^2$ processa-

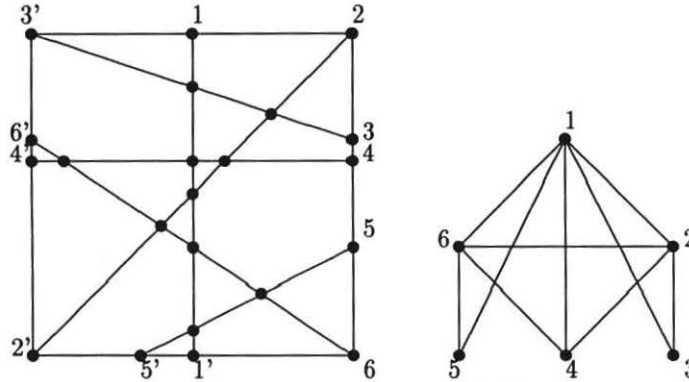


Figura 2.1: Grafo $G = (V, E)$

dores em uma CREW PRAM, onde α é o número de cliques.

2 Notação e Terminologia

Grafos Círculo são os grafos de interseção de uma família de cordas em um círculo C . A Figura 1 ilustra um exemplo. Ao invés de usarmos um círculo, podemos usar um retângulo. Assumimos que na nossa definição de grafo círculo duas cordas não possuem um ponto em comum em C . Uma *seqüência circular* S de G é a seqüência dos $2n$ pontos finais distintos das cordas em C que obtemos ao percorrer C em uma direção fixada, começando de um ponto escolhido em C . Denotamos por $S_1(v)$ e $S_2(v)$ respectivamente a primeira e a segunda instâncias em S da corda correspondente a $v \in V$ em C . Denotamos $S_i(v) < S_j(w)$ quando $S_i(v)$ precede $S_j(w)$ em S . Temos que $S_1(v) < S_2(v)$.

\vec{G} denota uma orientação acíclica de G . $A_v(\vec{G})$ e $A_v^{-1}(\vec{G})$ são respectivamente os subconjuntos dos vértices divergentes e convergentes a v . Para $v, w \in V$, v é um *ancestral* de w em \vec{G} se o digrafo contiver um caminho $v-w$. Neste caso, w é um descendente de v . Denotamos por $D_v(\vec{G})$ o conjunto dos descendentes de v . Se $w \in D_v(\vec{G})$ e $v \neq w$, então v é um *ancestral próprio* de w e w um *descendente próprio* de v . \vec{G} é denominado *transitivo* com relação a arestas quando $(v, w), (w, z) \in E$ implica $(v, z) \in E$. A *redução transitiva* \vec{G}_R é o subgrafo de \vec{G} formado exatamente pelas arestas as quais não são motivadas pela transitividade.

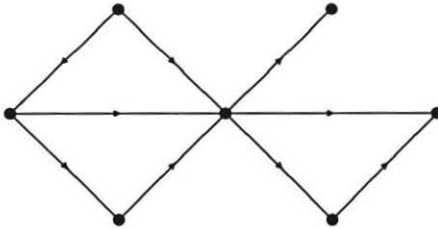


Figura 2.2: Digrafo $G = (V, E)$ localmente transitivo

Seja $G = (V, E)$ um grafo não orientado, $|V| > 1$ e \vec{G} uma orientação acíclica de G . Seja $v, w \in V$ e denotamos por $Z(v, w) \subset V$ o subconjunto de vértices os quais são simultaneamente descendentes de v e ancestrais de w em \vec{G} . Uma aresta $(v, w) \in E$ induz uma transitividade local quando $\vec{G}(Z(v, w))$ é um digrafo transitivo. Claramente, neste caso os vértices de qualquer caminho de v a w induzem uma clique em G . Além disso, (v, w) induz uma transitividade local maximal quando não existe $(v', w') \in E$ diferente de (v, w) tal que v' é simultaneamente um ancestral de v e w' um descendente de w em \vec{G} . A orientação \vec{G} é localmente transitiva quando cada uma de suas arestas induz transitividade local. A Figura 2 mostra um exemplo de uma orientação localmente transitiva.

A aplicação de orientações localmente transitivas para a enumeração de cliques maximais é baseada no seguinte teorema.

Teorema 2.1 *Seja $G = (V, E)$ um grafo não orientado, \vec{G} é uma orientação localmente transitiva de G e \vec{G}_R a redução transitiva de \vec{G} . Então existe uma correspondência um a um entre as cliques maximais de G e caminhos $v - w$ em \vec{G}_R , para todas arestas maximais $(v, w) \in E$.*

Demonstração: [13].

3 Algoritmo Seqüencial

Apresentamos o algoritmo seqüencial [13] para determinação de todas cliques maximais de um grafo círculo. O algoritmo utiliza o fato de as S_1 -orientações são localmente transitivas.

3.1 Descrição Preliminar do Algoritmo

Algoritmo: Cliques Maximais

1. Construir uma S_1 -orientação \vec{G} de $G = (V, E)$.
2. Construir a redução transitiva \vec{G}_R .
3. Determinar todas as arestas maximais de \vec{G} .
4. Para cada aresta maximal $(v, w) \in E$, determinar todos os caminhos $v - w$ em \vec{G}_R .

3.2 O Algoritmo

Vamos descrever de maneira sucinta como esses passos podem ser implementados seqüencialmente.

A S_1 -orientação \vec{G} de um dado grafo círculo pode ser facilmente obtida através de sua seqüência circular. Em função disso, o algoritmo assume que seqüência é dada como entrada do algoritmo. O tempo utilizado para computar \vec{G}_R é menor que $O(mn)$. O passo 3 pode ser implementado observando que se \vec{G} é localmente transitivo, então $(v, w) \in E$ é uma aresta maximal se e somente se

$$A_v(\vec{G}) \cap A_w(\vec{G}) = A_v^{-1}(\vec{G}) \cap A_w^{-1}(\vec{G}) = \emptyset$$

A condição acima pode ser verificada facilmente e portanto obtemos todas as arestas maximais em tempo $O(nm)$. Para implementar o passo 4, para cada $v \in V$ definimos $W(v)$ como sendo o subconjunto de vértices w tal que (v, w) é uma aresta maximal. Seja \vec{H} o subgrafo de \vec{G}_R induzido pelos vértices simultaneamente descendentes de v e ancestrais de qualquer $w \in W(v)$. Temos que os caminhos $v - w$ a serem determinados em \vec{G}_R a partir de um determinado vértice v são exatamente os caminhos fonte-sumidouro em \vec{H} . Cada um desses caminhos pode ser obtido em tempo $O(n)$, usando busca em profundidade irrestrita em \vec{H} , a partir de uma fonte v . Logo a complexidade total é $O(n(m + \alpha))$.

A correção do algoritmo segue diretamente da correspondência um a um entre as cliques maximais e os caminhos fonte-sumidouro em \vec{H} , para cada $v \in V$.

4 Algoritmo para Determinação das Cliques Maximais de um Grafo Círculo

Nesta seção, utilizando as idéias do algoritmo seqüencial [13], descrevemos um algoritmo paralelo para geração de todas as cliques maximais de um grafo círculo que é executado em tempo paralelo $O(\alpha \log^2 n)$ com n^3 processadores em uma CREW PRAM. Utilizamos o exemplo da figura 1 para ilustrar os passos do algoritmo.

O algoritmo paralelo para geração de todas as cliques maximais usa o Algoritmo Paralelo para Busca Irrestrita [2,3].

4.1 Descrição Preliminar do Algoritmo

Algoritmo: Cliques Maximais

1. Construir a redução transitiva \vec{G}_R .
2. Determinar todas as arestas maximais de \vec{G} .
3. Para cada aresta maximal $(v, w) \in E$, determinar todos os caminhos $v - w$ em \vec{G}_R .

4.2 O Algoritmo e um Exemplo

Vamos agora descrever como os passos do algoritmo podem ser paralelizados. A entrada é a S_1 -orientação \vec{G} de um grafo $G = (V, E)$. Para o nosso exemplo da figura 1 as arestas são

$$\boxed{(1, 2)(1, 3)(1, 4)(1, 5)(1, 6)(2, 3)(2, 4)(2, 6)(4, 6)(5, 6)}$$

Passo 1

Neste passo, determinamos a redução transitiva \vec{G}_R de \vec{G} . Para isso, inicialmente determinamos as listas de adjacências $A_v^{-1}(\vec{G})$ para todos os vértices de \vec{G} .

Podemos facilmente obter as listas $A_v^{-1}(\vec{G})$ através da partição da lista de arestas em sublistas, uma para cada vértice v . Essa partição em sublistas pode ser efetuada em tempo paralelo $O(\log n)$ com m processadores em uma CREW PRAM.

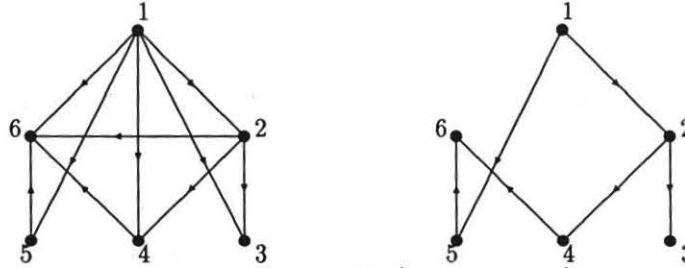


Figura 4.3: (a) Grafo \vec{G} e (b) Grafo \vec{G}_R

Utilizamos o vetor de vetores ADJ para armazenar as listas de adjacências. $ADJ[v_i]$ contém a lista dos vértices v_j que chegam a v_i . Utilizando duplicação recursiva, retiramos de cada lista de adjacência $ADJ[v_i]$ todos os vértices constantes nas listas de adjacências $ADJ[v_j]$, para todo $v_j \in ADJ[v_i]$. Isso pode ser efetuado da seguinte maneira

para todo $v_i \in V$ **em paralelo faça**

$$ADJ[v_i] \leftarrow A_{v_i}^{-1}(\vec{G})$$

$$BADJ[v_i] \leftarrow \cup_{v_j \in ADJ[v_i]} ADJ[v_j]$$

repita $\lceil \log n \rceil$ **vezes**

para todo $v_i \in V$ **em paralelo faça**

$$BADJ[v_i] \leftarrow BADJ[v_i] \cup \{ \cup_{v_j \in BADJ[v_i]} BADJ[v_j] \}$$

para todo $v_i \in V$ **em paralelo faça**

$$ADJ[v_i] \leftarrow ADJ[v_i] - BADJ[v_i]$$

As listas de adjacências $A_{v_i}^{-1}(\vec{G}_R)$ são dadas por $ADJ[v_i]$.

Cada lista de adjacências pode ter no máximo n vértices. A cada passo fazemos a compressão de cada lista de adjacências para retirar os vértices repetidos. Logo as operações acima podem ser executadas em tempo paralelo $O(\log^2 n)$ com n^3 processadores em uma CREW PRAM.

Para o nosso exemplo \vec{G}_R é

$$\boxed{(1,2)(1,5)(2,3)(2,4)(4,6)(5,6)}$$

O passo 1 pode ser executado em tempo paralelo $O(\log^2 n)$ com n^3 processadores em uma CREW PRAM.

Passo 2

Nesse passo, determinamos as arestas maximais de \vec{G} . Para isso utilizamos a observação [13] de que se \vec{G} é localmente transitivo então $(v, w) \in E$ é uma aresta maximal se e somente se

$$A_v(\vec{G}) \cap A_w(\vec{G}) = A_v^{-1}(\vec{G}) \cap A_w^{-1}(\vec{G}) = \emptyset$$

Como no passo anterior, caso as listas de adjacências de entrada e saída de \vec{G} não façam parte da entrada, elas podem ser facilmente computadas através de \vec{G} . Observamos que, neste caso, temos que efetuar duas partições distintas na lista de arestas de \vec{G} .

$$\begin{array}{ll} A_1(\vec{G}) = \{2, 3, 4, 5, 6\} & A_1^{-1}(\vec{G}) = \emptyset \\ A_2(\vec{G}) = \{3, 4, 6\} & A_2^{-1}(\vec{G}) = \{1\} \\ A_3(\vec{G}) = \emptyset & A_3^{-1}(\vec{G}) = \{1, 2\} \\ A_4(\vec{G}) = \{6\} & A_4^{-1}(\vec{G}) = \{1, 2\} \\ A_5(\vec{G}) = \{6\} & A_5^{-1}(\vec{G}) = \{1\} \\ A_6(\vec{G}) = \emptyset & A_6^{-1}(\vec{G}) = \{1, 2, 4, 5\} \end{array}$$

Com as listas de adjacências de entrada e saída de cada um dos vértices calculamos as arestas maximais. As arestas maximais para o nosso exemplo são

$$\boxed{(1, 3)(1, 6)}$$

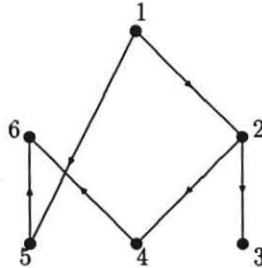
O passo 2 pode ser executado em tempo paralelo $O(\log n)$ com m processadores em uma CREW PRAM.

Passo 3

Neste passo, construímos para cada $v \in V$ os subconjuntos $W(v)$ formados pelos vértices w tal que (v, w) é uma aresta maximal. Isso pode ser efetuado com a ordenação da lista de arestas maximais (v, w) determinadas no passo anterior e pela divisão dessa lista em sublistas, uma para cada v . No nosso exemplo temos

$$\begin{array}{ll} W(1) = \{3, 6\} & W(2) = \emptyset \\ W(3) = \emptyset & W(4) = \emptyset \\ W(5) = \emptyset & W(6) = \emptyset \end{array}$$

Construímos agora o subgrafo \vec{H} de \vec{G}_R induzido pelos vértices simultaneamente descendentes de v e ancestrais de qualquer $w \in W(v)$. Isso pode

Figura 4.4: Grafo \vec{H}

ser efetuado através da determinação do fecho transitivo [9] \vec{G}_R e a com a interseção dos vértices que divergem de v com os que convergem a cada um dos $w \in W(v)$. Temos que os caminhos $v-w$ em \vec{G}_R tomados a partir de um determinado vértice v são exatamente os caminhos-fonte sumidouro em \vec{H} . Esses caminhos podem ser obtidos através do algoritmo paralelo para busca em profundidade irrestrita [2,3].

O grafo \vec{H} pode ser construído em tempo paralelo $O(\log^2 n)$ com $M(n)$ processadores em uma CREW PRAM, onde $M(n)$ é o número de processadores necessários para efetuar uma multiplicação de duas matrizes $n \times n$ em uma CREW PRAM. Em [4] $M(n)$ é $O(n^{2.376})$. Para o nosso exemplo, o subgrafo \vec{H} é formado por

$$\boxed{(1,2)(1,5)(2,3)(2,4)(4,6)(5,6)}$$

Vamos agora efetuar uma busca irrestrita no digrafo \vec{H} . Observamos que o digrafo \vec{H} é acíclico. Com a utilização do algoritmo paralelo para busca irrestrita [2,3] determinamos os caminhos maximais de \vec{H} . Para o nosso exemplo, os caminhos maximais em \vec{H} são

$$\boxed{C_1 = \{1, 2, 3\}}$$

$$\boxed{C_2 = \{1, 2, 4, 6\}}$$

$$\boxed{C_3 = \{1, 5, 6\}}$$

O passo 3 pode ser executado em tempo $O(\log^2 n)$ com $M(n)$ processadores em uma CREW PRAM.

Os caminhos fonte-sumidouro de \vec{H} obtidos no passo anterior formam as cliques maximais de G .

A complexidade total do algoritmo de determinação das cliques maximais de um grafo círculo é de tempo paralelo $O(\alpha \log^2 n)$ com n^3 processadores em uma CREW PRAM, onde α é o número de cliques maximais.

5 Algoritmo para Determinação do Número de Cliques Maximais de um Grafo Círculo

Nesta seção, descrevemos um algoritmo paralelo para determinação do número de cliques maximais α_k de tamanho k e o número total de cliques maximais α de um grafo círculo que é executado em tempo paralelo $O(\alpha \log^2 n)$ com n^3 e $nM(n)$ processadores em uma CREW PRAM, onde $M(n)$ é o número de processadores necessários para efetuar uma multiplicação de duas matrizes $n \times n$. Vamos também determinar uma clique máxima em tempo paralelo $O(\log^2 n)$ com n^3 processadores em uma CREW PRAM. Utilizamos o exemplo da figura 1 para ilustrar os passos do algoritmo.

5.1 Descrição Preliminar do Algoritmo

Algoritmo: Número de Cliques Maximais

1. Aplicar os passos 1 e 2 do algoritmo Cliques Maximais.
2. Construir o subgrafo \vec{H} de \vec{G}_R induzido pelos vértices simultaneamente descendentes de v e ancestrais de qualquer $w \in W(v)$, onde $W(v)$ é o subconjunto de vértices w tal que (v, w) é uma aresta maximal.
3. Computar A^k , onde A é a matriz de adjacências do grafo H .

5.2 O Algoritmo e um Exemplo

Passo 1

Neste passo, executamos as mesmas operações do algoritmo anterior.

Passo 2

Neste passo, computamos apenas o grafo \vec{H}

Passo 3

Neste passo, vamos calcular o número de cliques maximais de tamanho k e o número de cliques maximais de G .

Motivados pelo fato de que a multiplicação de matrizes booleanas é um problema com solução em NC , e considerando que a matriz A como sendo a matriz de adjacência do digrafo \vec{H} , temos que A^2 corresponde aos caminhos de comprimento 2 existentes no digrafo. Logo basta examinarmos a linha da matriz referente aos vértices fontes com as colunas referentes aos vértices sumidouro para obter o número de cliques de tamanho 3 no grafo. De uma forma geral, temos que A^k fornece o número de cliques de tamanho $k + 1$. Para o nosso exemplo temos

$$A = \begin{bmatrix} 0 & 1 & 0 & 0 & 1 & 0 \\ 0 & 0 & 1 & 1 & 0 & 0 \\ 0 & 0 & 0 & 0 & 0 & 0 \\ 0 & 0 & 0 & 0 & 0 & 1 \\ 0 & 0 & 0 & 0 & 0 & 1 \\ 0 & 0 & 0 & 0 & 0 & 0 \end{bmatrix}$$

$$A^2 = \begin{bmatrix} 0 & 0 & 1 & 1 & 0 & 1 \\ 0 & 0 & 0 & 0 & 0 & 1 \\ 0 & 0 & 0 & 0 & 0 & 0 \\ 0 & 0 & 0 & 0 & 0 & 0 \\ 0 & 0 & 0 & 0 & 0 & 0 \\ 0 & 0 & 0 & 0 & 0 & 0 \end{bmatrix} \quad A^3 = \begin{bmatrix} 0 & 0 & 0 & 0 & 0 & 1 \\ 0 & 0 & 0 & 0 & 0 & 0 \\ 0 & 0 & 0 & 0 & 0 & 0 \\ 0 & 0 & 0 & 0 & 0 & 0 \\ 0 & 0 & 0 & 0 & 0 & 0 \\ 0 & 0 & 0 & 0 & 0 & 0 \end{bmatrix}$$

Logo, temos dois caminhos de comprimento 2 um entre os vértices 1 e 3 e outro entre os vértices 1 e 6, e a matriz A^3 indica a existência de um caminho de comprimento 3 entre os vértices 1 e 6.

A computação de cada uma das matrizes A^k pode ser efetuada em tempo paralelo $O(\log n)$ com $M(n)$ processadores em uma CREW PRAM [9]. Logo, para computar o número total de cliques maximais necessitamos efetuar cada uma das A^k em paralelo. Isso pode ser efetuado em tempo paralelo $O(\log^2 n)$ com $nM(n)$ processadores em uma CREW PRAM [9]. Para computar uma clique máxima, basta verificar o valor de k na obtenção de A^k .

A complexidade total do algoritmo de determinação do número de cliques maximais de tamanho k e do número de cliques maximais de um grafo círculo

é de tempo paralelo $O(\log^2 n)$ utilizando n^3 e $nM(n)$ processadores em uma CREW PRAM respectivamente. A complexidade total para computar uma clique máxima de um grafo círculo é de tempo paralelo $O(\log^2 n)$ com n^3 processadores em uma CREW PRAM.

6 Correção e Análise

Lema 6.1 *O grafo \vec{G}_R obtido ao final do Passo 1 do algoritmo paralelo é a redução transitiva de \vec{G} .*

Demonstração: A cada iteração i , computamos para cada vértice v o conjunto L_v formado pela união das listas de adjacências dos vértices que chegam a v . O conjunto L_v contém os vértices para os quais existe pelo menos um caminho de comprimento $\geq 2^i$ a v . A cada iteração i , para cada vértice v , retiramos da lista de adjacências dos vértices que chegam a v , os vértices pertencentes a L_v . Como utilizamos duplicação recursiva, após $\lceil \log n \rceil$ iterações, todos os vértices que são ancestrais de v pertencem a L_v . Como retiramos de cada lista de adjacências dos vértices que chegam a v os vértices pertencentes a L_v , as listas de adjacências conterão apenas os vértices v_j , para os quais não existe um caminho ligando u_j a v diferente de (u_j, v) . \square

Teorema 6.1 *O algoritmo paralelo computa corretamente todas as cliques maximais de um grafo círculo em tempo paralelo $O(\alpha \log^2 n)$ com n^3 processadores em uma CREW PRAM, onde α é o número de cliques maximais.*

Demonstração: Pelo lema anterior, a redução transitiva é computada corretamente. Com a utilização do algoritmo de busca em um digrafo acíclico, determinamos todos os caminhos maximais no digrafo \vec{H} . Pelo fato de que a S_1 -orientação \vec{G} é localmente transitiva, o resultado segue-se. \square

De acordo com a Seção 5, concluímos também:

Teorema 6.2 *O algoritmo paralelo computa corretamente o número de cliques maximais de tamanho k e o número de cliques maximais de um grafo círculo em tempo paralelo $O(\log^2)$ com n^3 e $nM(n)$ processadores em uma CREW PRAM, respectivamente.*

Teorema 6.3 *O algoritmo paralelo computa corretamente a clique máxima de um grafo círculo em tempo paralelo $O(\log^2)$ com n^3 processadores em uma CREW PRAM.*

Referências

- [1] A. Bouchet. Reducing prime graphs and recognizing circle graphs. *Combinatorica*, 7:243–254, 1987.
- [2] E.N. Cáceres. Algoritmo paralelo para busca irrestrita. *XIX SEMISH - SBC*, 1–15, 1992.
- [3] E.N. Cáceres. *Algoritmos Paralelos para Problemas em Grafos*. PhD thesis, COPPE - UFRJ, Rio de Janeiro - RJ, 1992.
- [4] D. Coppersmith and S. Winograd. Matrix multiplication via arithmetic progressions. *J. Symbolic Computation*, 9:251–280, 1990.
- [5] W.H. Cunningham. Decomposition of directed graphs. *SIAM J. Alg. and Disc. Methods*, 3:214–228, 1982.
- [6] W.H. Cunningham and J. Edmonds. A combinatorial decomposition theory. *Canad. J. Math.*, 32:734–765, 1980.
- [7] E. Dahlhaus and M. Karpinski. *A Fast parallel algorithm for computing all maximal cliques in a graph and the related problems*. Technical Report 8516-CS, Institut für Informatik der Universität Bonn, Bonn, 1987.
- [8] C.P. Gabor, W.L. Hsu, and K.J. Supowit. Recognizing circle graphs in polynomial time. *J. of Assoc. Comput. Mach.*, 36:435–474, 1989.
- [9] R.M. Karp and V. Ramachandran. Parallel algorithms for shared-memory machines. In J. van Leeuwen, editor, *Handbook of Theoretical Computer Science - Vol. A*, chapter 17, pages 869–941, The MIT Press/Elsevier, 1990.
- [10] J.W. Moon and L. Moser. On cliques in graphs. *Israel J. Math.*, 3:23–28, 1965.
- [11] W. Naji. Graphes des cordes, caractérisation et reconnaissance. *Disc. Math.*, 54:329–337, 1985.
- [12] M.B. Novick. *Parallel algorithms for intersection graphs*. PhD thesis, Department of Computer Science, Cornell University, Ithaca, NY, 1990.

-
- [13] J.L. Szwarcfiter and M. Barroso. Enumerating the maximal cliques of circle graph. In F.R.K. Chung, R.L. Graham, and D.F. Hsu, editors, *Graph Theory, Combinatorics, Algorithms and Applications*, pages 511–517, SIAM Publications, 1991.
- [14] L.G. Valiant. The complexity of enumeration and reliability problems. *SIAM J. Comp.*, 8:410–421, 1979.